

## 수소유기에 따른 Pd-Co합금들의 상 분리 현상에 대한 열역학적 고찰

송도민\*, 박종년\*, 최전†\*\*

\*전남대학교 신소재공학부, \*\*한려대학교 신소재공학과

### Thermodynamics of Hydrogen-Induced Phase Separation on Pd-Co Alloys

D. M. SONG\*, C. N. Park\* and J. Choi†\*\*

\*Department of Materials Science Engineering,  
Chonnam National University, Kwang-ju

\*\* Department of Advanced Material Engineering,  
Hanlyo University, Dokryeri 199-4, Kwangyang, Chonnam

#### ABSTRACT

It is very interesting and important in the academic point of view and in practical use the hydrogen-induced phase separation(HIPS) which appears during hydrogen heat treatment. Since hydrogen can be removed very fast by pumping it out the hydrogen-induced new lattice phase which can not be obtained without hydrogen can be preserved as meta-stable state. In this study it has been investigated whether the HIPS appear in Pd-Al, Pd-Co, Pd-Cr, Pd-Ti, Pd-V and Pd-Zr alloys and discussed thermodynamic representation of the HIPS. The Pd alloys were arc-melted under argon atmosphere and remelted 4 or 5 times for homogenization. The alloys were annealed at 600 °C under vacuum for 24 hrs and then subjected to pressure-composition isotherm measurements at 100 °C. The hydrogen heat treatment(HHT) of samples was carried out at 600 °C under hydrogen pressure of 70 bar for 6 days and PC isotherms at 100 °C were measured. By comparing the PC isotherms measured before and after HHT, occurrence of phase separation was determined.

The experimental results showed that the HIPS appeared only in Pd-0.05Co alloy. For Pd-Co alloys with various composition the PC isotherms were measured. By adopting Park-Flanagan model for ternary thermodynamics the Gibbs free energy change for Pd-Co-H solid solution was calculated and subsequently with this the HIPS in Pd-Co alloy was explained fairly.

**주요기술용어** : Phase separation (상분리), Hydrogen heat treatment (수소열처리),  
PC isotherms (압력조성등온), Pd-Co alloys (팔라듐-코발트합금),  
Gibbs free energy (깁스자유에너지)

† Corresponding author : jchoi@hlu.hanlyo.ac.kr

## 1. 서 론

최근 Flanagan 등<sup>1,2)</sup>은 Pd-Pt, Pd-Rh, Pd-Ni 및 Pd-Mn 합금과 같은 전율고용체(complete solid solution)를 이루는 Pd계 합금에 수소를 가하면 수소유기 상 변화(hydrogen-induced phase change)가 448°K 및 5.0 MPa 같이 그리 높지 않은 온도와 수소압력에서도 일어난다고 보고하였다. 초고압 및 고온 상태에서 Pd-Pt, Pd-Ni 합금의 상 분리 현상을 발견하였다. 이 두 결과의 차이는 전자의 경우 상당히 온화한 수소 열처리 조건에서도 상 분리가 일어난다는 것이며 이는 매우 놀라운 일이다. 왜냐하면 그 때까지 448°K와 같은 온화한 조건에서는 금속원자는 부동적(frozen)이라 여겨져 왔고 따라서 그 합금 계는 단지 금속과 수소의 아2원계(pseudo-binary)로 간주되어 왔기 때문이다. 그러나 최근의 연구 결과는 만일 448°K보다 높은 온도에서 충분한 시간이 주어진다면, 특히 합금 내에 고용된 수소원자에 의해 금속원자의 이동성이 향상된 상태에서는 그와 같은 아2원계는 더 이상 적용이 어렵다는 것을 보여주고 있다. 따라서 Pd 합금-수소 계는 이러한 조건에서 3원계로 취급해야 한다. 한편, Pd-Ag 합금 계에서는 그러한 조건에서 상 분리 현상이 나타나지 않았다.<sup>1)</sup>

Park과 Flanagan<sup>4,5,6)</sup>은 Pd 합금의 수소 열처리에 나타나는 상 분리 현상을 처음으로 열역학적으로 설명하였다. 즉, 이들은 Pd-Pt, Pd-Ni과 같은 합금이 수소가 존재하지 않는 상태에서는 ΔG 곡선이 전율고용체를 형성하는 형태를 가지고 있으나 수소가 존재하게 되면 ΔG 곡선이 상 분리를 일으킬 수 있는 형태로 전환되는 것을 실험적인 열역학 자료를 이용하여 계산해 보였다. 또한 이들은 Pd-Ag 합금 계에서는 수소열처리에 의한 상 분리 현상이 나타나지 않는 원인도 ΔG 곡선으로 보여주고 있다.

이처럼 수소를 가하지 않은 상태에서는 나타나지 않는 새로운 상이 수소를 가하면 즉 수소 열처

리를 하면 나타나는 현상은 학문적인 측면에서 매우 흥미로울 뿐만 아니라 응용 측면에서도 매우 중요한 가치가 있다. 즉, 수소열처리 후 진공을 이용 수소를 합금으로부터 빠른 속도로 제거하고 이를 상온으로 냉각시키면 수소열처리에 의해 생성된 준 안정상은 수소를 함유하지 않은 상태에서 상온에 그대로 남게 된다. 이를 이용하면 지금까지 수소 없이 합금의 열처리만으로는 얻을 수 없었던 새로운 합금 상을 제조할 수가 있다.

따라서 본 연구에서는 이러한 수소 열처리의 중요성을 고려하여 수소 열처리 효과를 재확인하는 의미에서 Pd-Al, Pd-Co, Pd-Cr, Pd-Ti, Pd-V 및 Pd-Zr 합금에서의 수소 유기 상 분리 현상의 존재 여부를 실험적으로 확인하고 상 분리 현상이 나타난 Pd-Co 합금을 택해 수소유기 상 분리에 대한 열역학적 고찰을 하였다.

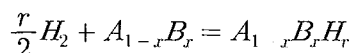
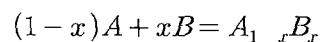
## 2. 3원계(A-B-H) 고용체 합금 생성에 대한 열역학적 배경

3원계 합금(A-B-H)의 고용체 생성에 대한 깁스 자유에너지 변화(ΔG)를 계산하는 열역학적 이론<sup>1,2)</sup>을 Pd 합금-수소 계에 적용하였다.

### 2.1 3원계 합금(A-B-H)의 고용체 생성에 대한 깁스 자유에너지변화(ΔG)

3원계 합금의 조성을  $A_1-xB_xH_x$ 라 하고, A는 Pd과 같이 안정한 수소화물을 형성하는 원소, B는 Co, Cr 등과 같은 천이 금속 또는 합금 원소라고 가정한다.

3원계 고용체 합금의 생성은 다음과 같이 두 가지 반응의 합으로 생각할 수 있다.



위 반응에 대한 Gibbs free energy 변화는 (ΔG)는 다음과 같다.

$$\Delta G = \Delta G_M + \Delta G_H \quad (1)$$

$$\Delta G_M = G_{A_1-xB_x} - [(1-x)G_A^0 + xG_B^0] \quad (2)$$

$$\Delta G_M = G_{A_1-xB_x}H_r - [G_{A_1-xB_x} + \frac{r}{2}G_{H_2}] \quad (3)$$

여기서  $\Delta G_M$  은 A-B 고용체 합금의 깁스 자유에너지이고,  $\Delta G_H$ 는 A-B합금-H 고용체 합금의 깁스 자유에너지이다.

여기서 다시  $G_{A_1-xB_xH_r} = G_{A_1-xB_x}(r) + rG_H$  이고, 일정한 온도와 수소압력에서

$$G_H = \frac{1}{2}G_{H_2} = \mu_H \text{ (chemical potential)} \quad (4)$$

$$\therefore \Delta G_H = G_{A_1-xB_x}(r) - G_{A_1-xB_x} \quad (5)$$

즉,  $\Delta G_H$ 는 수소 농도가 r인 합금  $A_1-xB_x$ 의 깁스 자유에너지와 수소가 함유되어 있지 않는 합금  $A_1-xB_x$ 의 깁스 자유에너지의 차와 같다.

Gibbs-Duhem 식으로부터

$$X_A dG_A + X_B dG_B = 0 \quad (6)$$

$$dG_A = -\frac{X_B}{X_A} dG_B$$

여기에 A :  $A_1-xB_x$ , B : H,  $X_B/X_A = r$ 을 대입하면

$$dG_{A_1-xB_x} = -rdG_H = -rd\mu_H \quad (7)$$

따라서

$$\int_{r=0}^{r=r} dG_{A_1-xB_x} = - \int_{-\infty}^{\mu_H^{gas}} rd\mu_H \quad (8)$$

$$\therefore G_{A_1-xB_x}(r) = G_{A_1-xB_x} - \int_{-\infty}^{\mu_H^{gas}} rd\mu_H \quad (9)$$

$$\Delta G_H = - \int_{-\infty}^{\mu_H^{gas}} rd\mu_H \quad (10)$$

$\mu_H^{gas}$ 는 주어진 온도와 압력에서의 chemical potential.

$$\therefore \Delta G = \Delta G_M + \Delta G_H = \Delta G_M - \int_{-\infty}^{\mu_H^{gas}} rd\mu_H \quad (11)$$

## 2.2 $\Delta G_H$ 의 결정

$$\mu_H(metal) = \frac{1}{2}\mu^0 H_2(g) + RT \ln P^{\frac{1}{2}}$$

$$\Delta G_H = -RT \int_{-\infty}^{\ln P^{\frac{1}{2}}(give)} rd \ln P^{\frac{1}{2}} \quad (12)$$

위 식에서  $\Delta G_H$ 를 계산하기 어려우므로 아래의 식을 (12)식에 치환한 결과 (13)식을 얻을 수 있다.

$$\begin{aligned} d\mu_H &= RT d \ln P^{\frac{1}{2}} = \frac{1}{2} RT d \ln P \\ &= RTP^{-\frac{1}{2}} dP^{\frac{1}{2}} = \frac{1}{2} RTP^{-1} dP \end{aligned}$$

$$\begin{aligned} -\Delta G_H^m / RT &= \int_{-\infty}^{P^{\frac{1}{2}}(give)} rd \ln P^{\frac{1}{2}} \\ &= \int_0^{P^{\frac{1}{2}}(give)} r P^{-\frac{1}{2}} dP^{\frac{1}{2}} \end{aligned} \quad (13)$$

## 2.3 $\Delta G$ 의 기준상태의 변화

$$\begin{aligned} \Delta G_H^m &= \Delta G_H^m + \Delta G^f \\ &= \Delta G_H^m - [(1-x)\Delta G_H^m(x=0) + x\Delta G_H^m(x=1)] \end{aligned}$$

$$\begin{aligned} \Delta G^* &= \Delta G_M^m + \Delta G_H^m \\ &= \Delta G_M^m + \Delta G_H^m - [(1-x) \\ &\quad \Delta G_H^m(x=0) + x\Delta G_H^m(x=1)] \\ &= G_{A_1, B_1} - [(1-x)G_A^0 + xG_B^0] \\ &\quad + G_{A_1, B_1}(r) - G_{A_1, B_1} \\ &\quad - (1-x)[G_A(r^0) - G_A^0] \\ &\quad - x[G_B(r^1) - G_B^0] \\ &= G_{A_1, B_1}(r) - [(1-x)G_A^0 + xG_B^0] \end{aligned}$$

\* The "m" refer to mixing.

	standard state.
$\Delta G$	pure metals without hydrogen
$\Delta G^*$	pure metals containing equilibrium amounts of hydrogen in them at the given T and P

$$\begin{aligned} \Delta G &= G_{A_1, B_1}(r) - [(1-x)G_A^0 + xG_B^0] \\ &= \Delta G_M^m + \Delta G_H^m \end{aligned}$$

$$\begin{aligned} \Delta G^* &= G_{A_1, B_1}(r) - [(1-x)G_A(r_0) + xG_B(r_1)] \\ &= \Delta G_M^m + \Delta G_H^m \end{aligned}$$

## 2.4 $\Delta G_H^m$ 의 계산

$$\begin{aligned} \Delta G_H^m &= \Delta G_H^m - [(1-x)\Delta G_H^m(x=0) \\ &\quad + x\Delta G_H^m(x=1)] \end{aligned}$$

$$\begin{aligned} &= -RT \int_{-\infty}^{\mu_H^0} r d\mu_H \\ &\quad - [(1-x)(-RT) \int_{-\infty}^{\mu_H^0} r d\mu_H \\ &\quad + x(-RT) \int_{-\infty}^{\mu_H^0} r_1 d\mu_H] \\ &= RT \int_{-\infty}^{\mu_H^0} [(1-x)r_0 + xr_1 - rx] d\mu_H \\ &= RT \int_{-\infty}^{\ln P^{\frac{1}{2} givx}} \Delta \ln P^{\frac{1}{2}} \\ &= RT \int_0^{P^{\frac{1}{2} givx}} \Delta r P^{-\frac{1}{2}} d \ln P^{\frac{1}{2}} \end{aligned}$$

$r_0, r_1, r$  : 주어진 T, P에서 순수금속 A(x=0), B(x=1), 합금  $A_{1-x}B_x$ 의 수소농도

$$\begin{aligned} \Delta r &= (1-x)r_0 + xr_1 - rx \leftarrow r_1 \ll r_0 \\ &\approx (1-x)r_0 - rx \end{aligned}$$

## 3. 실험방법

### 3.1 시료의 준비

본 실험에 사용한 합금원소들은 수소유기상 분리현상을 보기 위해서는 고용체를 형성해야 하므로 상태도상에서 모두 fcc 고용체를 형성하는 조성범위인 5at% 합금원소 조성을 택하였다. 이들 합금의 용해는 아르곤을 이용하여 아르곤 분위기에서 용해하였으며, 용해 후 합금의 균질화를 위해서 4~5 회 재용해를 하였다. 용해한 시편들은 연마지를 사용하여 표면의 얇은 산화층을 제거하고, 냉간 압연하여 약 0.05mm 두께의 판형으로 만들었으며 이를 3×3mm 정도로 절단하여 지름 5mm의 석공판에 넣어 진공 봉입한 후,

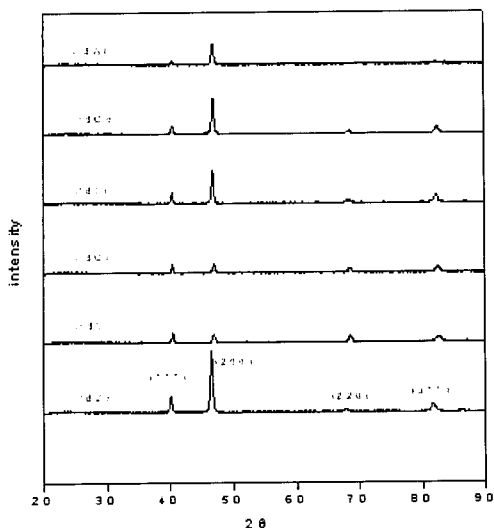


Fig. 1. X-ray diffraction patterns of alloys.

873°K에서 24 시간 동안 열처리를 행하였다. 열처리 후 상온에서 시편을 꺼내 초음파 세척을 하였다.

### 3.2 X-선 회절분석 및 압력 조성 등은 곡선의 측정

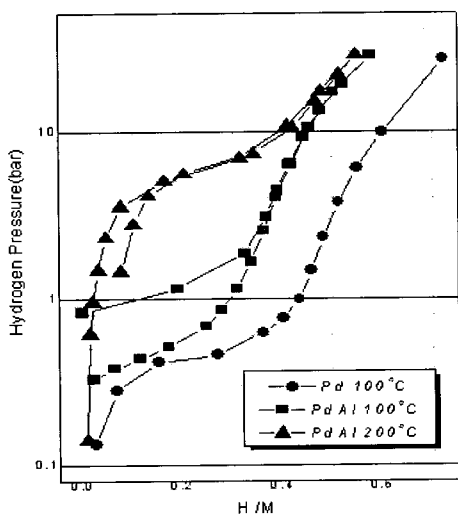


Fig. 2. P-C-T curves of Pd-Al alloy.

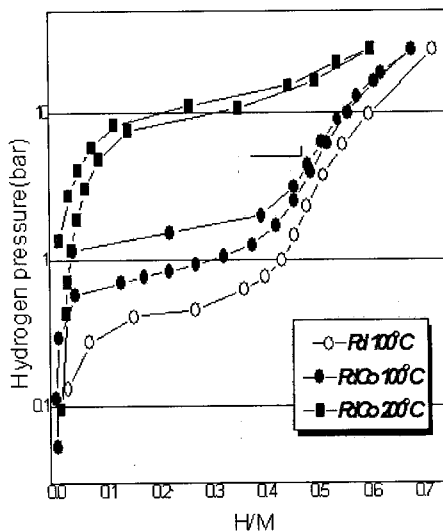


Fig. 3. P-C-T curves of Pd-Co alloy.

제조한 Pd 합금들의 상분석을 위해 CuKα radiation을 이용한 X-선 회절 분석을 행하였다. Pd 합금의 압력-조성 등은 곡선(PC isotherm 또는 PCT curve)을 얻기 위해 본 실험실에서 자체 제작한 Sivert's형 PCT 자동측정장치를 이용하였다. 실험에는 99.999%의 고순도 수소를 사용

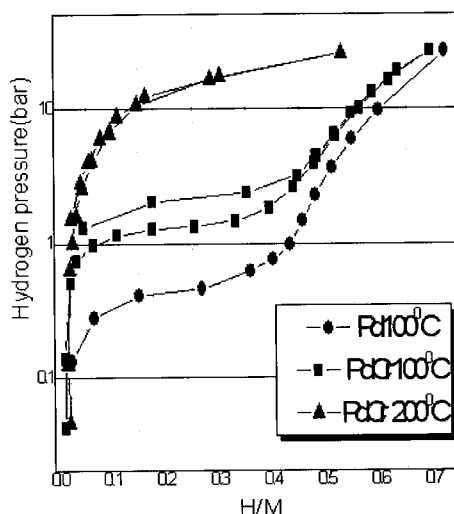


Fig. 4. P-C-T curves of Pd-Cr alloy.

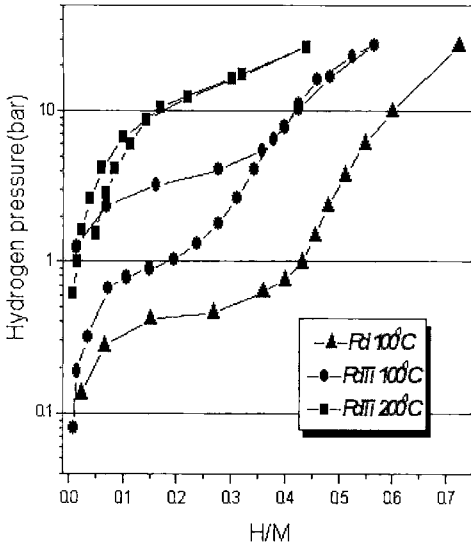


Fig. 5. P-C-T curves of Pd-Ti alloy.

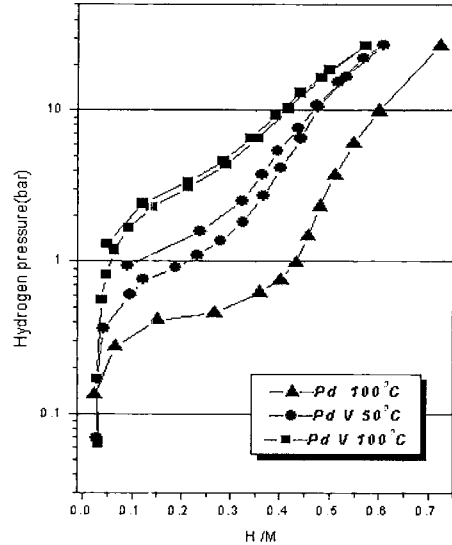


Fig. 6. F-C-T curves of Pd-V alloy

하였다.

### 3.3 수소 열처리

수소 열처리 실험을 위해서는 고압의 수소압력을 필요로 하므로 수소 열처리 실험을 위해 고압의 수소가스를 얻을 수 있는 수소열처리 장치를 별도로 제작하였으며 압력 측정을 위해 고압용과 저압용의 압력변환기를 설치하였으며, 회토류계 수소저장합금 분말을 넣은 reserver를 설치하고 이를 가열하여 고압의 수소가스를 이용 압력-조성 등은 곡선을 측정하였다.

## 4. 결과 및 고찰

### 4.1 XRD 분석

제작한 시료들을 Cu K $\alpha$  radiation을 이용하여 구한 XRD pattern을 그림 1에 나타내었다. 그림으로부터 모든 합금이 FCC 결정구조의 단일 상으로 이루어져 있음을 알 수 있었으며 이는 모든 합금이 주어진 조성에서 FCC 고용체를 형성하고 있음을 의미한다.

### 4.2 압력-조성 등은 곡선

Pd-0.05Al, Pd-0.05Co, Pd-0.05Cr, Pd-0.05, Ti Pd-0.05V 및 Pd-0.05Zr 합금에 대해 annealing한 상태에서의 압력-조성 등은 곡선을 100 °C, 200 °C에서 측정된 결과를 그림 2~7에 실었다. 이 합금들에서의 수소 유기 상분리 현상의 존재 여부를 확인하기 위해 각 합금을 온도 200 °C, 수소압

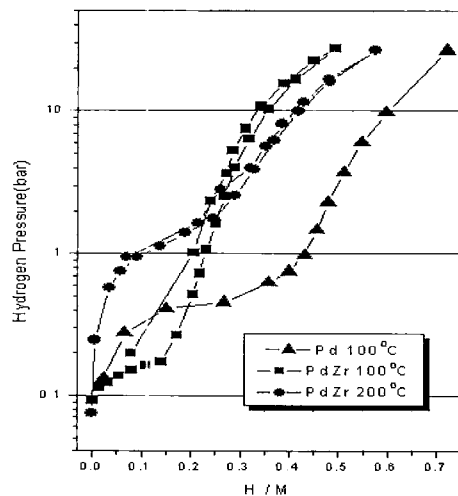


Fig. 7. P-C-T curves of Pd-Zr alloy.

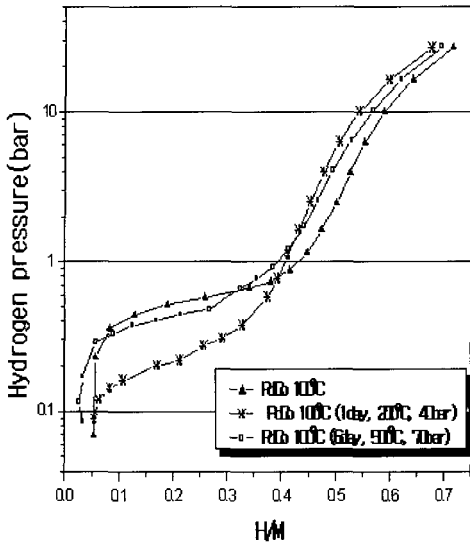


Fig. 8 P-C-T curves after Heat-treatment of Pd-Co alloy

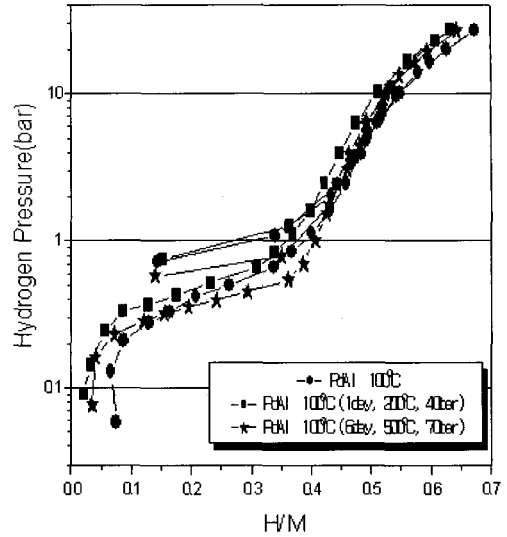


Fig. 9. P-C-T curves after Heat-Treatment of Pd-Al alloy.

력 40 bar에서 1일 동안 그리고 500 °C, 수소압력 70 bar에서 6일 동안 수소열처리를 행하였다. 수소열처리 후 100 °C에서 압력-조성 등은 곡선을 측정한 결과 Pd-0.05Co 합금을 제외하고는 수소열처리 전과 큰 차이를 발견할 수 없었다. 수소열처리 효과가 나타나지 않은 Pd-0.05Al 합금과 수소열처리 효과가 나타난 Pd-0.05Co 합금의 수소열처리 전후의 압력-조성 등은 곡선을 그림 8과 9에 나타내었다. Pd-0.05Al 합금의 수소열처리 전후 압력-조성 등은 곡선은 큰 차이를 보이지 않는 반면, Pd-0.05Co 합금의 경우 수소열처리 전후의 압력-조성 등은 곡선에 큰 차이가 있음을 알 수 있다. 이는 열처리에 의해 상분리가 일어났음을 의미하며 Pd-rich상과 Pd-poor 상으로 상분리 현상이 발생하면 Pd-0.05Co 합금의 압력-조성 등은 곡선에 나타난 것처럼 평형수소압력의 감소와 수소저장용량의 감소 현상이 나타나게 된다.<sup>7,8)</sup>

Pd-Co 합금의 상분리 현상을 열역학적으로 설명하기 위해서는 먼저 수소열처리 온도에서 Pd-Co의 여러 조성에 대한 압력-조성 등은 곡선을 측정해야 한다.

그림 10은 373K에서 Pd-Co 합금의 Co 함량 (5, 10, 15, 20 at%)에 따른 압력-조성 등은 곡선을 구한 결과이다. 이들 곡선으로부터 그림에서

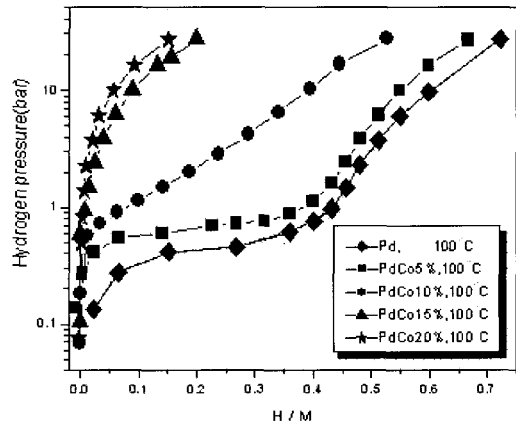


Fig. 10. P-C-T curves of Pd-Co alloy with Co contents in 373K.

### 4.3 Pd-Co 합금의 수소열처리에 의한 상분리

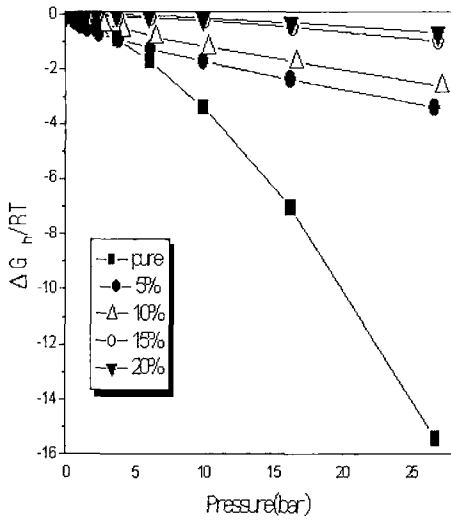


Fig. 11.  $\Delta G_h/RT$  in Pd-Co alloys with variation pressure.

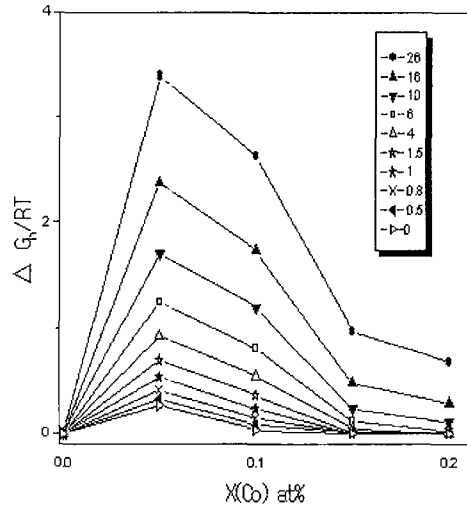


Fig. 13.  $\Delta G_h^{norm}/RT$  in Pd-Co alloys with Co contents at constant pressure.

나타낸 것과 같이 여러 수소압력에서의  $\Delta G_m/RT$ 를 구하여 도시하면 그림 11과 같다. 그림 11에서 살펴보면  $\Delta G_m/RT$ 를 일정한 압력에서 Co 함량에 대해 도시하면 그림 12처럼 나타낼 수 있으며 이로부터 그림 12에 나타낸 바와 같은 방법으로  $\Delta$

$G_h^{norm}/RT$ 를 구한 결과를 그림 13에 나타내었다. 한편, Pd-Co 고용체 합금에 대한  $\Delta G_m$ 은 고유값은 앞선 연구자들에 의해서 알려져 있다.<sup>6,9,10</sup> 따라서 이  $\Delta G_m/RT$ 에 그림 13의  $\Delta G_h^{norm}/RT$ 를 합하면 그림 14와 같이  $\Delta G^{norm}/RT$ 를 구할 수 있다.

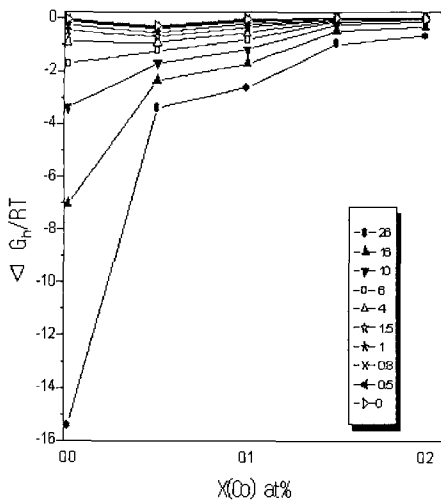


Fig. 12.  $\Delta G_h/RT$  in Pd-Co alloys with Co contents at constant pressure.

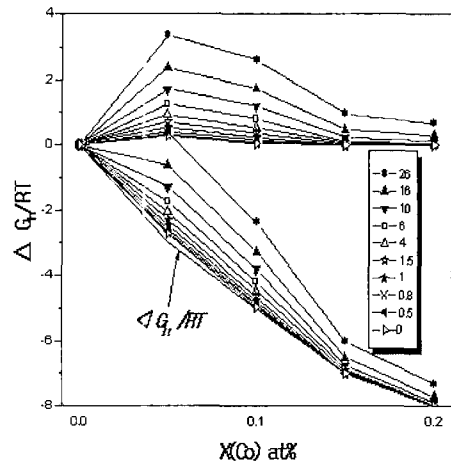


Fig. 14.  $\Delta G_h^{norm}/RT$  in Pd-Co alloys with Co contents at constant pressure



그림 14에서 나타난 것처럼 Pd-Co 합금은 수소열처리 시의 수소압력이 약 6 bar 이상일 때 거의 순수 Pd과 Pd-0.15Co 조성의 합금으로 상분리가 일어날 수 있음을 보여주고 있다. 형상은 상분리에 대한 구동력은 수소압력이며 수소열처리 시의 수소압력이 증가함에 따라 증가하고 있다.

## 5. 결 론

Pd-0.05Al, Pd-0.05Co, Pd-0.05Cr, Pd-0.05Ti, Pd-0.05V 및 Pd-0.05Zr 합금에 대해 200 °C, 수소압력 70 bar에서 6 일 동안 수소열처리를 행한 결과 Pd-0.05Co 합금에서만 상분리 현상이 나타남을 확인하였다.

Co 함량이 다른 여러 Pd-Co 합금의 압력-조성 등은 곡선을 구하여 이로부터 Park-Flanagan model을 이용 깁스 자유에너지 변화를 계산함으로써 Pd-Co 합금의 수소열처리에 의한 상분리 현상을 열역학적으로 설명할 수 있었다.

## 참 고 문 헌

- 1) T. Flanagan, W.A. Oates : "The Effect of Hysteresis on The Phase Diagram of Pd-H", J of the Less-Common Metals, Vol. 92, 1983, pp. 131-142.
- 2) T. Flanagan, H. Noh, J. D. Clewley and John G. Barker : "Evidence from SANS and H<sub>2</sub> solubilities for H-enhanced metal atom diffusion in Pd-Ni alloys", Scripta Materialia, Vol. 39, Issue 11, 3 November 1998, pp. 1607-1611.
- 3) V. E. Antonov, T. E. Antonova, I. T. Belash, E. G. Ponyatovsky, V. I. Raschupkin

- and V. G. Thiessen : "The Pd-Ni-H system at high pressures", J. of the Less Common Metals, Vol. 88, Issue 1, November 1982, p. 50.
- 4) C.-N. Park, T. Flanagan, "Thermodynamics of Phase Separation in A-B-H Alloy", Scripta Materialia, vol.37, No.11, 1997, pp. 1709-1714.
- 5) T. Flanagan, Choong-N.Park : "Hydrogen-induced Rearrangements in Pd-rich Alloys", J of Alloy and Compounds Vol. 293-295, 1999, pp. 161-168.
- 6) H. Noh, T. Flanagan : "Proc. 4th Japan-Korea Joint Symp. on Hydrogen Energy", Yokohama, Japan, Aug. 29, 1997, p. 173.
- 7) H. Noh, Ted B. Flanagan and Y. Sakamoto : "Hydrogen-induced segregation in Pd-Pt alloys", Journal of Alloys and Compounds, Vol. 231, Issues 1-2, 15 December 1995, pp. 10-14.
- 8) Ted B. Flanagan and H. Noh : "A possible role for hydrogen-induced lattice migration in alloy materials processing", Journal of Alloys and Compounds, Vol. 231, Issues 1-2, 15 December 1995, pp. 1-9.
- 9) T. Tabata and H. K. Birnbaum : "Direct observations of the effect of hydrogen on the behavior of dislocations in iron", scripta Metallurgica, Vol. 17, Issue 7, July 1983, pp. 947-950.
- 10) T. Tabata and H. K. Birnbaum : "Direct observations of hydrogen enhanced crack propagation in iron", Scripta Metallurgica, Vol. 18, Issue 3, March 1984, pp. 231-236.